

## บทที่ 4

### ตัวกรองค่าลามานและอัลกอริทึมของการปรับแก้ค่าความผิดพลาดจาก GPS

ในการวัดปริมาณทุกชนิดย่อมต้องมีความคลาดเคลื่อนรวมอยู่ ขนาดของความคลาดเคลื่อนจะมากหรือน้อยขึ้นอยู่กับอุปกรณ์ วิธีการ และสภาพแวดล้อมในขณะทำการวัด เมื่อจะนำค่าที่วัดได้มาใช้เราจำเป็นต้องกำจัดความคลาดเคลื่อนเหล่านี้ให้หมดไปหรือลดเหลือน้อยที่สุดเท่าที่จะทำได้ในงานรังวัดดาวเทียมความคลาดเคลื่อนที่เกิดขึ้นอาจพิจารณาแยกได้เป็น 3 ประเภท คือ ประเภทที่เกี่ยวข้องกับดาวเทียม ได้แก่ ความคลาดเคลื่อนของโจรและความคลาดเคลื่อนนาฬิกาดาวเทียม ประเภทที่เกี่ยวข้องกับการแพร่กระจายของสัญญาณ ได้แก่ ความคลาดเคลื่อนของการหักเหในชั้นบรรยากาศและการเกิดคลื่นสะท้อน ประเภทสุดท้าย เกี่ยวข้องกับเครื่องรับสัญญาณ เช่น นาฬิกาเครื่องรับ เป็นต้น

วิทยานิพนธ์เรื่องนี้จะทำการสร้างแบบจำลองของเครื่องรับ GPS จากนั้นใช้ตัวกรองค่าลามานในการทำนายค่าความผิดพลาดของเครื่องรับ GPS ที่เกิดขึ้นใหม่โดยใช้ค่าเดิม และนำค่าที่ได้มาปรับแก้ค่าพิกัดตำแหน่งในโปรแกรมแสดงเส้นทางyanพาหนะ ซึ่งสามารถลดค่าความผิดพลาดที่เกิดขึ้นได้โดยไม่จำเป็นต้องสำรวจเพื่อเก็บข้อมูลเส้นทางจำนวนมาก

#### 4.1 แบบจำลองความผิดพลาดของความถี่อย่างสำหรับระบบนำทาง

ความถี่อย่างของระบบนำทางหรือเรียกว่า INS (Inertial Navigation System) เป็นสาเหตุหนึ่งที่ทำให้เครื่องรับสัญญาณดาวเทียม GPS สามารถรับสัญญาณได้อย่างเร็วหรือช้าในพื้นที่ต่างๆ กัน ดังนี้เครื่องรับสัญญาณ GPS ที่มีราคาแพงจะมีความถี่อย่างน้อย ทำให้สามารถรับสัญญาณได้ดี

ส่วนประกอบพื้นฐานของ INS ประกอบด้วยตัวตรวจวัด 2 ตัว คือ ไจโรสโคป (Gyroscope) และ เครื่องวัดความเร่ง (Accelerometer) ตัวตรวจวัดไจโรจะหน้าที่วัดอัตราการหมุนหรือความเร็วเชิงมุม ซึ่งสามารถใช้สมการคณิตศาสตร์อินทิเกรทเทียบกับเวลาจะได้เป็นค่าความสูงของดาวเทียมเทียบกับพื้นโลก ในส่วนของเครื่องวัดความเร่งจะทำการวัดความเร่งซึ่งความสามารถเปลี่ยนเป็นค่าความเร็วได้โดยใช้การอินทิเกรทเทียบกับเวลา หรือทำการอินทิเกรทครั้งที่สองเพื่อเปลี่ยนเป็นค่าของตำแหน่ง ได้ โดย INS จะเก็บค่าความสูง ตำแหน่ง และความเร็ว ซึ่งความถูกต้องของค่าทั้ง 3 ขึ้นอยู่ปัจจัยอื่นๆด้วย อย่างไรก็ตามปกติในการอินทิเกรทจะทำให้เกิดความผิดพลาดของข้อมูล ความสูง ตำแหน่ง และความเร็ว ซึ่งทำให้ระบบมีเสถียรภาพน้อยลง ความผิดพลาดจะเพิ่มมาก ขึ้นอยู่กับตัวตรวจวัดที่ใช้ ดังนั้นในการสร้างแบบจำลองความผิดพลาดจำเป็นต้องพิจารณาส่วนประกอบ และโครงสร้างของตัวตรวจวัดด้วย

##### 4.1.1 แบบจำลองความผิดพลาดความถี่อย่างแบบแกนเดียว (Single – Axis Inertial Error Model)

พิจารณาลักษณะของแบบจำลองพื้นฐานใน 1 แกน ซึ่งมีความสัมพันธ์ระหว่างตัวตรวจวัดไจโร และตัวตรวจวัดความเร่ง ดังนี้

$$\Delta x = \text{ความผิดพลาดของตำแหน่ง (m)}$$

$\Delta\dot{x}$	= ความผิดพลาดของความเร็ว ( $m/s$ )
$\Delta\ddot{x}$	= ความผิดพลาดของความเร่ง ( $m/s^2$ )
$\phi$	= ความผิดพลาดของความสูงจากพื้นโลก ( $m$ )
$g$	= แรงโน้มถ่วงของโลก ( $m/s^2$ )
$R_e$	= รัศมีของโลก (km)
$a$	= ความเร่งของสัญญาณรบกวน ( $m/s^2$ )
$\varepsilon$	= อัตราเร่งเชิงมุมของสัญญาณรบกวนสำหรับตัวตรวจวัด ໄจโร (degree/s <sup>2</sup> )

แบบจำลองแบบ 1 แกนเป็นความสัมพันธ์ระหว่าง ตัวตรวจวัดความเร่งและตัวตรวจวัด ໄจโร โดยการตรวจวัดของทั้งสองจะมีคุณสมบัติของความเฉื่อยดังนี้ คือ ความเร่งและความเร่งเชิงมุมมีการเปลี่ยนแปลงแบบเป็นเรียงเส้น ซึ่งสามารถอธิบายด้วยสมการต่อไปนี้

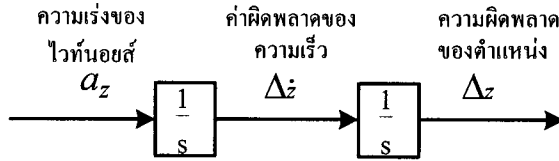
$$\Delta\ddot{x} = a - g\phi \quad (4.1)$$

$$\dot{\phi} = \frac{1}{R_e} \Delta\dot{x} + \varepsilon \quad (4.2)$$

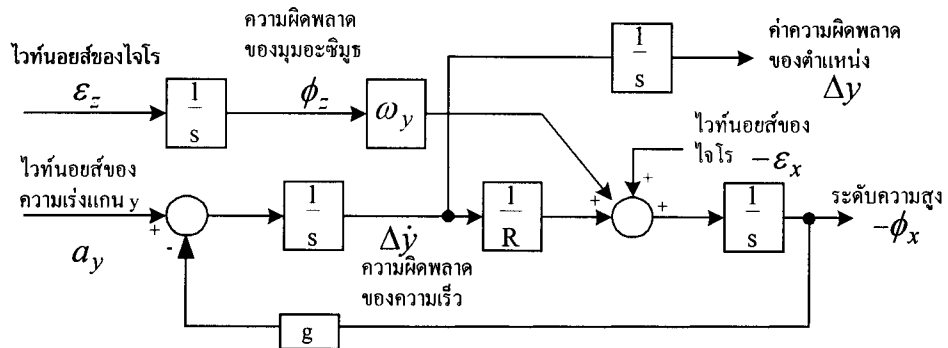
สมการที่ (4.1) คือสมการความผิดพลาดของความเร่งซึ่งเกิดจากสัญญาณรบกวนของตัวตรวจวัดความเร่งและแรงโน้มถ่วงของโลกทำให้เกิดความผิดพลาดของความสูง โดยอัตราการเปลี่ยนแปลงของความผิดพลาดของความสูงสามารถอธิบายได้ตามสมการที่ (4.2) ซึ่งเป็นผลการจากสัญญาณรบกวนของตัวตรวจวัด ໄจโร และความผิดพลาดของความเร็ว สำหรับความผิดพลาดของความเร่งสามารถอินทิเกรทหาค่าความผิดพลาดของความเร็วได้โดยค่าความผิดพลาดของความเร่งจะเพิ่มขึ้นตามความโถ้งของผิวโลก พิจารณาผลของความผิดพลาดที่เกิดขึ้นในแนวอนเทียบกับผลของความผิดพลาดของการวัดความเร่งในตอนเริ่มต้น ผลของการออสซิเลทที่เกิดขึ้นเรียกว่า Schuler Oscillation ซึ่งจะทำให้ค่าความผิดพลาดในแนวอนเทียบมากขึ้น โดยให้ค่า  $g$  เป็นค่าแรงดึงดูดของโลกมีค่าคงที่ ทำให้แบบจำลองนี้มีการเปลี่ยนแปลงได้น้อย

#### 4.1.2 แบบจำลองความผิดพลาดของความเฉื่อยแบบ 3 แกน (Three – Axes Inertial Error Model )

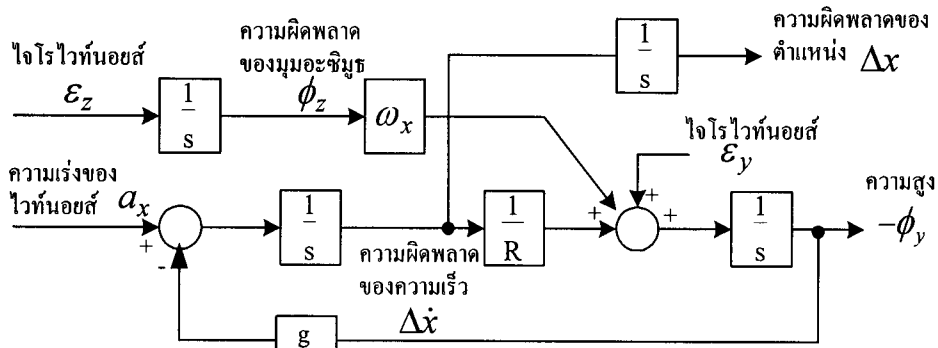
ทำการสร้างแบบจำลองแบบ 3 แกน จากแบบจำลอง 1 แกน โดยมีตัวตรวจวัด 3 คู่ โดยตัวตรวจวัดคู่ที่ 1 จะอยู่ในแนวคิ่ง – มุมอะซิมูช ดังภาพที่ (4.1) ตัวตรวจวัดคู่ที่ 2 วางในแนวทิศเหนือ-ทิศใต้ ดังภาพที่ (4.2) บล็อกไคօแกรนทรานซ์เฟอร์ฟิ้งก์ชันของทิศเหนือ และ ตัวตรวจวัดคู่ที่ 3 อยู่ในแนวทิศตะวันออก-ทิศตะวันตก ดังภาพที่ (4.3) บล็อกไคօแกรนทรานซ์เฟอร์ฟิ้งก์ชันแบบจำลองของทิศตะวันออก ดังนั้นทั้งแบบจำลองความผิดพลาดแบบ 1 แกน และ 3 แกน เป็นแบบจำลองที่มีการเปลี่ยนแปลงที่ช้า สมการห้องสมุดมี ทรานส์เฟอร์ฟิ้งก์ชันที่แตกต่างกันดังแสดงในภาพที่ (4.2) และ (4.3) เมื่อ  $\Delta\omega$  คือ อัตราการเปลี่ยนแปลงความเร็วเชิงมุม ,  $\phi$  คือ ความผิดพลาดของความเร็วเชิงมุม ,  $x$  คือ ทิศตะวันออก ,  $y$  คือ ทิศเหนือ ,  $z$  คือ ความสูง, และ  $\Delta\omega_y$  คือ อัตราการเปลี่ยนแปลงเชิงมุมในแนวแกน  $y$



ภาพที่ 4.1 แบบจำลองความผิดพลาดในแนวตั้ง



ภาพที่ 4.2 แบบจำลองความผิดพลาดของทิศเหนือ



ภาพที่ 4.3 แบบจำลองความผิดพลาดในทิศตะวันออก

ค่าความผิดพลาดในแนวทิศเหนือถูกกำหนดโดยสมการ

$$\Delta \ddot{y} = a_y - g(-\dot{\phi}_x) \quad (4.3)$$

$$-\dot{\phi}_x = \frac{1}{R_e} \Delta \dot{y} + \omega_y \phi_z - \varepsilon_x \quad (4.4)$$

ค่าความผิดพลาดในแนวทิศตะวันออกถูกกำหนดโดยสมการ

$$\Delta \ddot{x} = a_x - g \phi_y \quad (4.5)$$

$$-\dot{\phi}_y = \frac{1}{R_e} \Delta \dot{x} + \omega_x \phi_z - \varepsilon_y \quad (4.6)$$

ค่าความผิดพลาดในแนวตั้งถูกกำหนดโดยสมการ

$$\Delta \ddot{z} = a_z \quad (4.7)$$

ค่าความผิดพลาดของมุมอะซิมูธถูกกำหนดโดยสมการ

$$\dot{\phi}_z = \mathcal{E}_z \quad (4.8)$$

สมการสเตทที่ใช้สำหรับการเปลี่ยนแปลงพื้นฐานของแบบจำลองใช้ตัวแปร 9 ตัวแปร ในการพิจารณา จะใช้ตัวกรองแบบคากามานในการแก้ปัญหาแบบจำลองของ INS ซึ่งมีตัวแปรดังต่อไปนี้

$x_1 = x$  = ค่าความผิดพลาดของตำแหน่งในทิศตะวันออก (m)

$\dot{x}_2 = \dot{x}$  = ค่าความผิดพลาดของความเร็วในทิศตะวันออก (m/sec)

$x_3 = \dot{\phi}_y$  = ค่าความผิดพลาดของความเร็วเชิงมุมในแนวแกน y (rad)

$x_4 = y$  = ความผิดพลาดของตำแหน่งในทิศเหนือ (m)

$\dot{x}_5 = \dot{y}$  = ความผิดพลาดของความเร็วในทิศเหนือ (m/sec)

$x_6 = \dot{\phi}_x$  = ค่าความผิดพลาดของความเร็วเชิงมุมในแนวแกน -x (rad)

$x_7 = z$  = ความผิดพลาดของตำแหน่งในแนวตั้ง (m)

$\dot{x}_8 = \dot{z}$  = ความผิดพลาดของความเร็วในแนวตั้ง (m/sec)

$x_9 = \dot{\phi}_x$  = ความผิดพลาดของมุม azimuth (rad)

$U_{ax} = a_x$  = ความเร่งของสัญญาณรบกวนในแนวแกน x ( $m/s^2$ )

$U_{ay} = a_y$  = ความเร่งของสัญญาณรบกวนในแนวแกน y ( $m/s^2$ )

$U_{az} = a_z$  = ความเร่งของสัญญาณรบกวนในแนวแกน z ( $m/s^2$ )

$U_{gx} = g_x$  = แรงโน้มถ่วงของโลกในแนวแกน x ( $m/s^2$ )

$U_{gy} = g_y$  = แรงโน้มถ่วงของโลกในแนวแกน y ( $m/s^2$ )

$U_{gz} = g_z$  = แรงโน้มถ่วงของโลกในแนวแกน z ( $m/s^2$ )

ตามสมการที่ (4.3) ถึง สมการที่ (4.8) เราสามารถเขียนสมการอนุพันธ์อันดับหนึ่งซึ่งเป็นสมการแบบคงที่ของกระบวนการสำหรับระบบขนาด  $9 \times 9$  ได้ดังนี้

$$\begin{bmatrix} \dot{x}_1 \\ \dot{x}_2 \\ \dot{x}_3 \\ \dot{x}_4 \\ \dot{x}_5 \\ \dot{x}_6 \\ \dot{x}_7 \\ \dot{x}_8 \\ \dot{x}_9 \end{bmatrix} = \underbrace{\begin{bmatrix} 0 & 1 & 0 & 0 & 0 & 0 & 0 & 0 & 0 \\ 0 & 0 & -g & 0 & 0 & 0 & 0 & 0 & 0 \\ 0 & \frac{1}{R_e} & 0 & 0 & 0 & 0 & 0 & 0 & \omega_x \\ 0 & 0 & 0 & 0 & 1 & 0 & 0 & 0 & 0 \\ 0 & 0 & 0 & 0 & 0 & -g & 0 & 0 & 0 \\ 0 & 0 & 0 & 0 & 0 & \frac{1}{R_e} & 0 & 0 & 0 \\ 0 & 0 & 0 & 0 & 0 & 0 & 1 & 0 & 0 \\ 0 & 0 & 0 & 0 & 0 & 0 & 0 & 0 & 0 \\ 0 & 0 & 0 & 0 & 0 & 0 & 0 & 0 & 0 \end{bmatrix}}_{F_{INS}} \begin{bmatrix} x_1 \\ x_2 \\ x_3 \\ x_4 \\ x_5 \\ x_6 \\ x_7 \\ x_8 \\ x_9 \end{bmatrix} + \begin{bmatrix} 0 \\ u_{ax} \\ u_{gx} \\ 0 \\ u_{ay} \\ u_{gy} \\ 0 \\ u_{az} \\ u_{gz} \end{bmatrix} \quad (4.9)$$

ส่วนสมการกระบวนการของความผิดพลาดแบบไม่คงที่ ถูกกำหนดโดยสมการดังต่อไปนี้

$$\begin{bmatrix} \dot{x}_1 \\ \dot{x}_2 \\ \dot{x}_3 \\ \dot{x}_4 \\ \dot{x}_5 \\ \dot{x}_6 \\ \dot{x}_7 \\ \dot{x}_8 \\ \dot{x}_9 \end{bmatrix} = \underbrace{\begin{bmatrix} 0 & \rho_z & -\rho_y & 1 & 0 & 0 & 0 & 0 & 0 \\ -\rho_z & 0 & \rho_x & 0 & 1 & 0 & 0 & 0 & 0 \\ \rho_x & -\rho_y & 0 & 0 & 0 & 1 & 0 & 0 & 0 \\ \frac{-g}{R_e} & 0 & 0 & 0 & C_{\alpha} & -C_{\gamma} & 0 & -a_z & a_y \\ 0 & \frac{-g}{R_e} & 0 & -C_{\alpha} & 0 & C_{\alpha} & a_z & 0 & -a_x \\ 0 & 0 & \frac{2g}{R_e} & C_{\gamma} & -C_{\alpha} & 0 & -a_y & a_x & 0 \\ 0 & 0 & 0 & 0 & 0 & 0 & 0 & S_{\alpha} & S_{\gamma} \\ 0 & 0 & 0 & 0 & 0 & 0 & S_{\alpha} & 0 & -S_{\gamma} \\ 0 & 0 & 0 & 0 & 0 & 0 & -S_{\gamma} & S_{\alpha} & 0 \end{bmatrix}}_{F_{INS}} \begin{bmatrix} x_1 \\ x_2 \\ x_3 \\ x_4 \\ x_5 \\ x_6 \\ x_7 \\ x_8 \\ x_9 \end{bmatrix} + \begin{bmatrix} 0 \\ u_{ax} \\ u_{gx} \\ 0 \\ u_{ay} \\ u_{gy} \\ 0 \\ u_{az} \\ u_{gz} \end{bmatrix} \quad (4.10)$$

โดยที่

$$\Omega_s = \text{sideral rate}$$

ดังนั้น ค่า sideral rate ในแนวแกน x แกน y และ แกน z มีสมการเป็นดังต่อไปนี้

$$\Omega_x = \Omega_s \cdot \cos(\text{lattitude}) \cdot \sin(\alpha) \quad (4.11)$$

$$\Omega_y = \Omega_s \cdot \cos(\text{lattitude}) \cdot \cos(\alpha) \quad (4.12)$$

$$\Omega_z = \Omega_s \cdot \cos(\text{lattitude}) \quad (4.13)$$

$$\text{และ } \rho_x = \frac{-x_3}{R_e(1 - \frac{x_3}{R_e} - \frac{1}{298}(1 - 3(\cos(\text{lattitude}))^2)} \quad (4.14)$$

$$\rho_y = \frac{-x_2}{R_e(1 - \frac{x_3}{R_e} - \frac{1}{298}(\sin(\text{lattitude}))^2)} \quad (4.15)$$

ค่า Coriolis rates ในแนวแกน x แกน y และ แกน z

$$C_{rx} = 2\Omega_x + \rho_x \quad (4.16)$$

$$C_{ry} = 2\Omega_y + \rho_y \quad (4.17)$$

$$C_{rz} = 2\Omega_z + \rho_z \quad (4.18)$$

ในแบบจำลองกระบวนการของ INS มีตัวแปร 9 ตัวแปร คือ ตำแหน่ง, ความเร็ว และความลาดเอียงของพื้น ในทั้ง 3 แกน ซึ่งเป็นเพียงความผิดพลาดบางส่วนของระบบที่มีตัวตรวจวัดความเร็วและตัวตรวจวัด ใจ ไร เป็นองค์ประกอบ ซึ่งเป็นเครื่องมืออย่างง่ายในการวัดความผิดพลาดทั้งหมดและแบบจำลองของฟังก์ชัน white-noise ดังนั้นสมมติให้ค่าความผิดพลาดเชิงมุมของความสูงจากพื้น มีค่าน้อยมาก และอัตราการเปลี่ยนแปลงของการหมุนเปลี่ยนแปลงช้าๆ จนกระทั่งคงที่ สมการความเร่งสามารถแทนได้โดยใช้แบบจำลองตัวแปร 9 ตัวแปร จากสมการที่ (4.9) ใช้สำหรับระบบที่มีการเคลื่อนที่ช้าๆ โดยแบบจำลองนี้ไม่ได้พิจารณาความผิดพลาดในแนวมุมอะซิมุท ซึ่งเปลี่ยนแปลงตามการหมุนของโลก ดังนั้นสำหรับระบบที่มีการเปลี่ยนแปลงความเร็ว โดยมีการเคลื่อนที่อย่างรวดเร็ว โอกาสที่ความเร่งในแนวระดับจะทำให้เกิดความผิดพลาดนิ่งมากขึ้น ดังนั้นจำเป็นที่จะต้องลดค่าความผิดพลาดดังกล่าว ซึ่งเมื่อมีความเร่งขึ้นในแนวแกน X และ แกน Y ค่าความผิดพลาดในแนวต่างๆ เป็นดังนี้ ค่าความผิดพลาดในแนวทิศเหนือถูกกำหนดโดยสมการ

$$\Delta \ddot{y} = a_y - g(-\dot{\phi}_x) - A_x \phi_z \quad (4.19)$$

$$-\dot{\phi}_x = \frac{1}{R_e} \Delta \ddot{y} + \omega_y \phi_z - \epsilon_x \quad (4.20)$$

ค่าความผิดพลาดในแนวทิศตะวันออกถูกกำหนดโดยสมการ

$$\Delta \ddot{x} = a_x - g\phi_y - A_y \phi_z \quad (4.21)$$

$$-\dot{\phi}_y = \frac{1}{R_e} \Delta \ddot{x} + \omega_x \phi_z - \epsilon_y \quad (4.22)$$

ค่าความผิดพลาดในแนวตั้งถูกกำหนดโดยสมการ

$$\Delta \ddot{z} = a_z \quad (4.23)$$

ค่าความผิดพลาดของมุมอะซิมูร์กอกำหนดโดยสมการ

$$\dot{\phi}_z = \mathcal{E}_z \quad (4.24)$$

#### 4.2 แบบจำลองตัวกรองสัญญาณคามาน ( Kalman Filter model)

สำหรับวิทยานิพนธ์นี้จะใช้ตัวกรองสัญญาณแบบคามาน (Kalman Filter) ในการปรับแก้ค่าตำแหน่งใหม่ของเครื่องรับสัญญาณดาวเทียม GPS ซึ่งเป็นความผิดพลาดที่เกิดจากตัวเครื่องรับ GPS เนื่องจากสัญญาณที่ส่งมาจากดาวเทียมเป็นสัญญาณแบบ Pseudo Noise โดยตัวกรองสัญญาณแบบคามานเป็นตัวกรองที่สามารถประมาณค่าความผิดพลาดของกำลังสองเฉลี่ยนอย่างสุด ได้สำหรับสัญญาณที่ส่งเป็นลักษณะแบบสัญญาณรบกวน

ข้อดีของตัวกรองสัญญาณแบบคามาน

1. มีโครงสร้างที่ทำให้ผลของการประมาณค่าเป็นค่าที่ถูกต้อง
2. รูปแบบของสมการเหมาะสมสำหรับกระบวนการที่มีการทำงานแบบทันท่วงที
3. มีสูตรและสมการที่เป็นพื้นฐานเหมาะสมในการสร้างตัวกรองสัญญาณ
4. ไม่จำเป็นต้องแปลงค่ากับสำหรับสมการที่ใช้ในการวัด

ตัวกรองสัญญาณคามาน เป็นสมการคณิตศาสตร์ที่ใช้สำหรับแก้ปัญหาสมการสแตก ด้วยการคำนวณซ้ำ (Recursive) หรือ นำค่าเดิมมาคำนวณหาค่าใหม่ ดังนั้นจึงมีเฉพาะค่าเดิมที่จะนำมาใช้ในการประมาณค่า ตัวกรองสัญญาณแบบคามานเป็นเครื่องมือที่เหมาะสมที่สุดสำหรับดิจิตอลคอมพิวเตอร์ และแบบจำลองความผิดพลาดของระบบในสมการสแตกสเปช หลักการของตัวกรองสัญญาณคามานมี 2 ขั้นตอน คือ ขั้นที่ 1 การทำงาน หรือ การปรับค่าเวลาและค่าที่เกิดขึ้นก่อน  $X_k$  ส่วนในขั้นตอนที่ 2 คือ ใช้สมการเครื่องมือวัด  $Z_k$  ใน การประมาณค่าที่เกิดขึ้นทีหลัง  $X_{k+1}$

สมการของระบบแบบเวลาต่อเนื่อง มีสมการเป็นดังนี้

$$\dot{X} = FX + GU \quad (4.25)$$

โดยที่  $F$  คือ ไคนามิกเมทริกซ์

$X$  คือ เวกเตอร์ของตัวแปรสแตก

$G$  คือ เมตริกซ์การออกแบบ

$U$  คือ เวกเตอร์ของสัญญาณรบกวน

เมื่อพิจารณาสมการที่ 4.16 โดยใช้การสุ่มเวลา ที่  $t_0, t_1, \dots, t_k$  เพื่อแก้ปัญหาสมการดิฟเฟอเรนเชียลจะได้ สมการแบบสุ่มเวลาดังนี้ (Brown and Hwang ,1990)

$$x(t_{k+1}) = \phi(t_{k+1}, t_k)x(t_k) + \int_{t_k}^{t_{k+1}} \phi(t_{k+1}, \tau)G(\tau)u(\tau)d\tau \quad (4.26)$$

หรือสามารถเขียนได้เป็น

$$X_{k+1} = \phi_k X_k + W_k \quad (4.27)$$

ซึ่ง  $\phi_k$  คือ สเตททранซิชั่นเมตริกซ์ที่เวลา  $t_k$  ถึง  $t_{k+1}$  และ  $W_k$  คือ ไวท์นอยส์อินพุตในช่วงเวลา  $t_k$  ถึง  $t_{k+1}$

$$\phi_k = [L^{-1}[(sI - F)^{-1}]]_{t=\Delta t} \quad (4.28)$$

โดยที่  $L'$  แทน การแปลงอินเวอร์ล่าปลาซทรานสฟอร์ม และ  $S$  คือ ตัวแปรการแปลงล่าปลาซทรานสฟอร์ม เมื่อกำหนดช่วงเวลาในการสูญระหว่าง  $\Delta t = t_{k+1} - t_k$  ให้มีค่าน้อยมากจะได้

$$\phi_k = e^{(F \Delta t)} \approx I + F \Delta t \quad (4.29)$$

#### 4.2.1 แบบจำลองแบบสุ่มเวลา (Discrete-time model) ของตัวกรองค่าลามานูกก์กำหนดด้วยสมการสเตท สมการกระบวนการ

$$X_{k+1} = \phi_k X_k + W_k \quad (4.30)$$

$$Y_k = B_k X_k \quad (4.31)$$

$X_k = X(t_k)$  = สเตทเวคเตอร์ของกระบวนการที่เวลา  $t_k$

$\phi_k$  = เมตริกซ์ของสเตททранซิชั่นระหว่าง  $X_k$  และ  $X_{k+1}$

$W_k$  = ไวท์นอยส์เวคเตอร์

$B_k$  = เมตริกซ์แสดงความสัมพันธ์ของ  $Y_k$  และสเตท  $X_k$

$Q_k$  คือ โควาเลนซ์ เมตริกซ์ ซึ่งมีความสัมพันธ์กับ  $W_k$  มีนิยามดังนี้

$$E[W_k W_i^T] = \begin{cases} Q_k, & i = k \\ 0, & i \neq k \end{cases} \quad (4.32)$$

สามารถเขียนสมการของ  $Q_k$  ในรูปการอินทิเกรทได้ดังต่อไปนี้ (Brown and Hwang, 1990)

$$Q_k = E[W_k W_k^T] \quad (4.33)$$

$$Q_k = E \left\{ \left[ \int_{t_k}^{t_{k+1}} \phi(t_{k+1}, \xi) G(\xi) u(\xi) d\xi \right] \left[ \int_{t_k}^{t_{k+1}} \phi(t_{k+1}, \eta) G(\eta) u(\eta) d\eta \right]^T \right\} \quad (4.34)$$

$$Q_k = \int_{t_k}^{t_{k+1}} \int_{t_k}^{t_{k+1}} \phi(t_{k+1}, \xi) G(\xi) E[u(\xi) u^T(\eta)] G^T(\eta) \phi^T(t_{k+1}, \eta) d\xi d\eta \quad (4.35)$$

สมการของการวัด

$$Z_k = H_k X_k + V_k \quad (4.36)$$

ซึ่ง  $Z_k$  คือ เมตริกซ์ของค่าท่านาย ขนาด  $m \times 1$

$H_k$  คือ เมตริกซ์ของการวัด ขนาด  $m \times n$

$V_k$  คือ เวคเตอร์สัญญาณรบกวนของการวัด ขนาด  $m \times 1$

ในการสร้างสมการตัวกรองสัญญาณแบบคามานนี้จำเป็นต้องเขียนสมการสเดท โดยวิทยานิพนธ์นี้เลือกตัวแปร 9 ตัวแปร ตามสมการ (4.9) เวคเตอร์การวัดของตัวกรองสัญญาณแบบคามาน ส่วนใหญ่ในนี้ใช้เดลตารอนซึ่งเป็นตัวประมวลค่าความเร็ว ภายใต้สภาพแวดล้อมโดยทั่วไป การวัดแบบเดลตารอนจะพบได้ในการโครงการของดาวเทียมทุกประเภท ดังนั้นเวคเตอร์การวัด คือ ตัวเลขของเดลตารอนซึ่งเท่ากับการวัดของชุดเรժน์ ซึ่งถูกกำหนดโดยสมการดังนี้

$$\begin{bmatrix} \rho_1 \\ \rho_2 \\ \dots \\ \rho_n \\ \delta_1 \\ \delta_2 \\ \dots \\ \delta_n \end{bmatrix} - \underbrace{\begin{bmatrix} \hat{\rho}_1 \\ \hat{\rho}_2 \\ \dots \\ \hat{\rho}_n \\ \hat{\delta}_1 \\ \hat{\delta}_2 \\ \dots \\ \hat{\delta}_n \end{bmatrix}}_{z_k} = \begin{bmatrix} h_x^{(1)} & 0 & 0 & h_y^{(1)} & 0 & 0 & h_z^{(1)} & 0 & 0 & 1 & 0 \\ h_x^{(2)} & 0 & 0 & h_y^{(2)} & 0 & 0 & h_z^{(2)} & 0 & 0 & 1 & 0 \\ \dots & \dots \\ h_x^{(n)} & 0 & 0 & h_y^{(n)} & 0 & 0 & h_z^{(n)} & 0 & 0 & 1 & 0 \\ 0 & h_x^{(1)} & 0 & 0 & h_y^{(1)} & 0 & 0 & h_z^{(1)} & 0 & 0 & 1 \\ 0 & h_x^{(2)} & 0 & 0 & h_y^{(2)} & 0 & 0 & h_z^{(2)} & 0 & 0 & 1 \\ \dots & \dots \\ 0 & h_x^{(n)} & 0 & 0 & h_y^{(n)} & 0 & 0 & h_z^{(n)} & 0 & 0 & 1 \end{bmatrix} \underbrace{\begin{bmatrix} x_1 \\ x_2 \\ \dots \\ x_n \end{bmatrix}}_{H_k} + \begin{bmatrix} v_{\rho 1} \\ v_{\rho 2} \\ \dots \\ v_{\rho n} \\ v_{\delta 1} \\ v_{\delta 2} \\ \dots \\ v_{\delta n} \end{bmatrix} \quad (4.37)$$

เมื่อ

$\rho_i$  = การวัดค่า Pseudo Range

$\hat{\rho}(X_0)$  = การทำนายค่า Pseudo Range

$\delta_i$  = การวัดค่า Delta Range

$\hat{\delta}(X_0)$  = การทำนายค่า Delta Range

$$\begin{bmatrix} h_x^{(i)} & h_y^{(i)} & h_z^{(i)} \end{bmatrix} = \left[ \frac{\partial \psi_i}{\partial x} \quad \frac{\partial \psi_i}{\partial y} \quad \frac{\partial \psi_i}{\partial z} \right]^T \text{ สำหรับ } i = 1, \dots, n ; n \geq 4$$

$$\begin{bmatrix} x_1 & x_2 & \dots & x_n \end{bmatrix}^T = \text{สเดทเวคเตอร์}$$

$V_{\rho_i}$  = ลำดับของ Pseudo Range Noise

$V_{\delta_i}$  = ลำดับของ Pseudo Range Noise

ในการวัดสัญญาณรบกวนจากตัวตรวจความเร็ว สามารถสร้างเมตริกซ์ของสัญญาณรบกวนขนาด  $2n \times 2n$  โดยกำหนดให้ เมตริกซ์  $R$  เป็นโควาเลนซ์เมตริกซ์ของสัญญาณรบกวน โดยทั่วไปสำหรับเครื่องรับสัญญาณดาวเทียม GPS สัญญาณรบกวนที่เกิดขึ้นจะอยู่ในรูปของสัญญาณรบกวนแบบ Pseudo Range และ Delta Range ดังสมการต่อไปนี้

$$R = \begin{bmatrix} r_\rho & & & & \\ & r_\rho & & 0 & \\ & & \ddots & & \\ & & & r_\rho & \\ 0 & & & & r_\delta \\ & & & & & r_\delta \\ & & & & & & \ddots \\ & & & & & & & r_\delta \end{bmatrix} \quad (4.38)$$

#### 4.2.2 การประมาณค่าความผิดพลาดของตัวกรองสัญญาณความمان

$$\hat{e}_k^- = \hat{x}_k - \hat{x}_k^- \quad (4.39)$$

เมื่อ  $\hat{x}_k^-$  ค่าที่เกิดขึ้นก่อน และ  $\hat{x}_k$  ค่าที่เกิดขึ้นหลัง  $\hat{e}_k^-$  คือ ค่าความผิดพลาด ดังนั้นการประมาณค่าความผิดพลาดของโควาเลนซ์เมตริกซ์ที่เกิดขึ้นก่อน  $P_k^-$  มีสมการเป็น

$$P_k^- = E[\hat{e}_k^- \hat{e}_k^{T-}] = E[(\hat{x}_k - \hat{x}_k^-)(\hat{x}_k - \hat{x}_k^-)^T] \quad (4.40)$$

ในการสร้างตัวกรองความามมี 2 ขั้นตอน คือ การปรับค่าใหม่และการทำนายค่า โดยในขั้นตอนแรก คือ การปรับค่าใหม่โดย นำการประมาณค่าความผิดพลาดของโควาเลนซ์เมตริกซ์มาคำนวณหาค่าอัตราขยายของความาม  $K_k$  จากนั้นจึงคำนวณหาค่า  $\hat{x}_k$  และ  $P_k$  ตามลำดับ

$$K_k = P_k^- H_k^T (H_k P_k^- H_k^T + R_k)^{-1} \quad (4.41)$$

$$\hat{x}_k = \hat{x}_k^- + K_k (z_k - H_k \hat{x}_k^-) \quad (4.42)$$

$$P_k = (I - K_k H_k) P_k^- \quad (4.43)$$

- เมื่อ  $H_k$  = เมตริกซ์ของการวัด
- $R_k$  = โควาเลนซ์เมตริกซ์ของสัญญาณรบกวน
- $P_k^-$  = ค่าความผิดพลาดของโควาเลนซ์เมตริกซ์ที่เกิดขึ้นก่อน

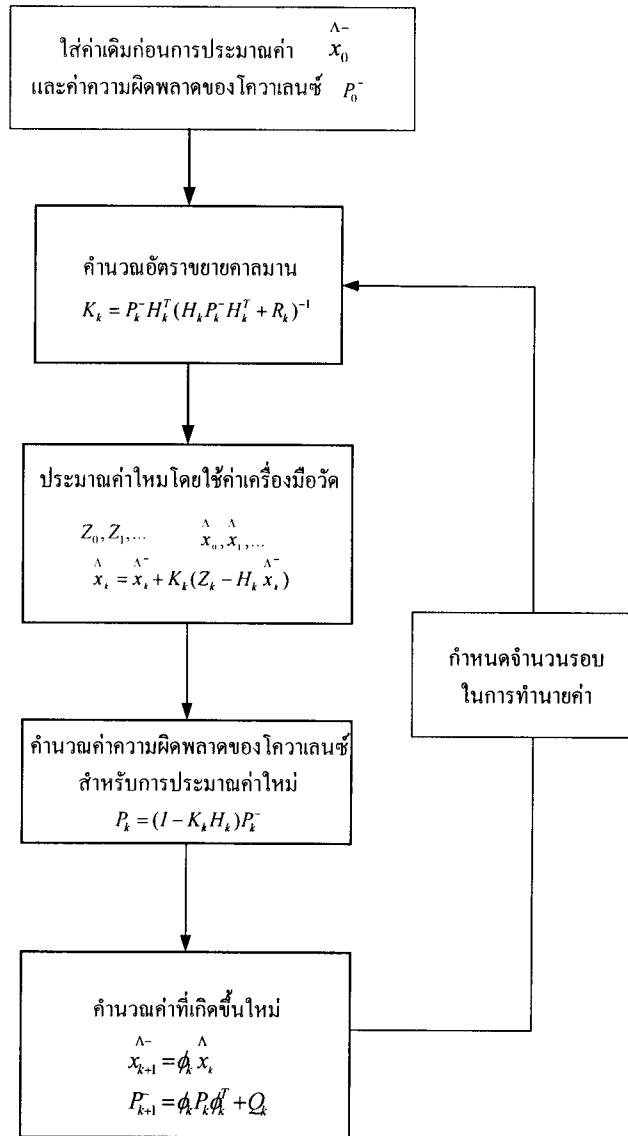
ขั้นตอนที่ 2 การทำนายค่า คือ การนำค่าที่ได้จากการประมาณและ ค่าความผิดพลาดของโควาเลนซ์  $P_k$  มาคำนวณหาค่า  $\hat{x}_{k+1}^-$  และ  $P_{k+1}^-$

$$\hat{x}_{k+1}^- = \phi_k \hat{x}_k \quad (4.44)$$

$$P_{k+1}^- = \phi_k P_k \phi_k^T + Q_k \quad (4.45)$$

โดยที่  $\phi_k$  = ทรานซิชันเมตริกซ์  
 $Q_k$  = โควาเลนซ์เมตริกซ์

#### 4.2.3 การคำนวณค่าความผิดพลาดทางตำแหน่งของเครื่องรับ GPS

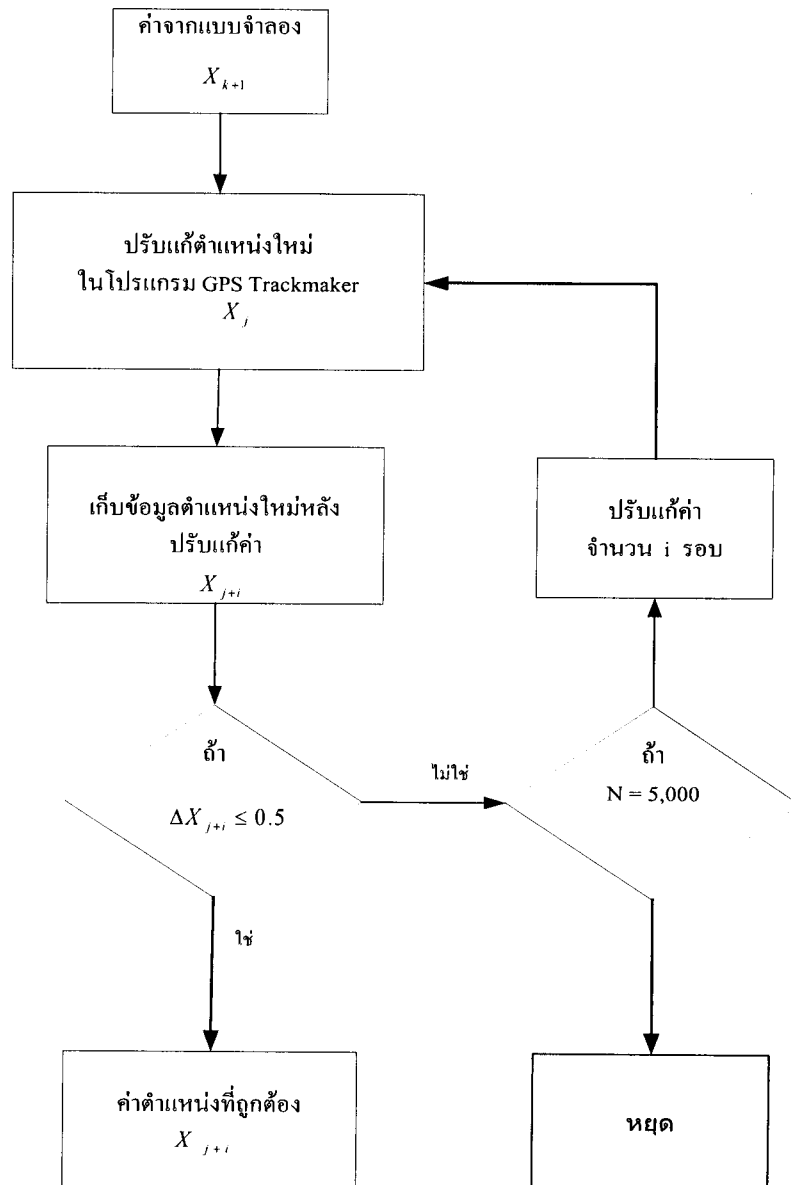


ภาพที่ 4.4 แผนผังโปรแกรมจำลองการทำงานของตัวกรองสัญญาณแบบคาดคะเน

การคำนวณหาค่าความผิดพลาดทางตำแหน่งของเครื่องรับ GPS โดยใช้แบบจำลองตัวกรองคาดคะเน ข้อมูลอินพุตที่ต้องการ คือ ค่าเดิมก่อนการประมาณค่าและค่าความผิดพลาดของโควาเลนซ์  $\overset{\wedge}{x}_0$ ,  $P_0^-$  คำนวณค่าอัตราขยายความ  $K_k$  ตามสมการที่ (4.41) ทำการประมาณค่าใหม่โดยสมการเครื่องมือวัดตามสมการ

ที่ (4.37) จะได้สมการ  $\hat{x}_j$  คำนวณค่าโดยวิธีสำหรับการประมาณค่าใหม่ตามสมการที่ (4.33) นำค่าโดยวิธีสำหรับการประมาณค่าใหม่ตามสมการที่ (4.42) และ (4.43) โดยนำรายค่าจำนวน N รอบ

#### 4.2.3 การปรับแก้ค่าตำแหน่ง



ภาพที่ 4.5 แผนผังการปรับแก้ค่าพิกัดตำแหน่ง

จากภาพที่ (4.5) นำค่าที่ได้จากการนำรายค่าในแบบจำลองความน่า  $X_{k+1}$  เป็นค่าตั้งต้นในการปรับแก้ค่าตำแหน่งในโปรแกรม GPS Trackmaker ปรับแก้ค่าตำแหน่งใหม่ โดยให้ตัวแปรที่ทำการปรับแก้แล้ว

คือ  $X_j$  ทำการสำรวจเส้นทางโดยเก็บข้อมูลตำแหน่งใหม่  $X_{j+i}$  ถ้าค่าความแตกต่างของค่าความผิดพลาดที่ได้หลังการปรับแก้ตำแหน่งใหม่มีค่าน้อยกว่าหรือเท่ากับ 0.5 เป็นค่าที่ถูกต้อง แต่ถ้าค่าความแตกต่างของค่าความผิดพลาดที่ได้หลังการปรับแก้ตำแหน่งใหม่มีค่ามากกว่า 0.5 ต้องทำการปรับค่าตำแหน่งใหม่โดยใช้ค่า  $X_{j+i}$  เป็นค่าตั้งต้น

#### 4.3 อัลกอริทึมของแบบจำลองตัวกรองค่าลามาน

คำอธิบายอัลกอริทึมของแบบจำลองค่าลามานสามารถสร้างได้โดยใช้โปรแกรม Matlab จำลองสมการส掛けตานาขั้นตอนต่อไปนี้

4.3.1 อ่านค่าไฟล์ข้อมูลของดาวเปร  $X_2, X_5, X_7$ , ละติจูด และ ลองติจูด ที่ได้จากการสำรวจเส้นทาง กำหนดค่าคงที่ได้แก่  $g = 9.80665$ , Sidereal rate (rad/sec):  $\Omega_s = 7.2921 \times 10^{-5}$  คำนวณค่า sidereal rate ในแนวแกน x แกน y และ แกน z ตามสมการต่อไปนี้

$$\Omega_x = \Omega_s \cdot \cos(\text{latitude}) \cdot \sin(\alpha) \quad (4.46)$$

$$\Omega_y = \Omega_s \cdot \cos(\text{latitude}) \cdot \cos(\alpha) \quad (4.47)$$

$$\Omega_z = \Omega_s \cdot \sin(\text{latitude}) \quad (4.48)$$

และ  $\rho_x = -\frac{x_5}{R_e(1 - \frac{x_3}{R_e} - \frac{1}{298}(1 - 3(\cos(\text{latitude}))^2))} \quad (4.49)$

$$\rho_y = -\frac{x_2}{R_e(1 - \frac{x_3}{R_e} - \frac{1}{298}(\sin(\text{latitude}))^2)} \quad (4.50)$$

ค่า Coriolis rates ในแนวแกน x แกน y และ แกน z

$$C_{rx} = 2\Omega_x + \rho_x \quad (4.51)$$

$$C_{ry} = 2\Omega_y + \rho_y \quad (4.52)$$

$$C_{rz} = 2\Omega_z + \rho_z \quad (4.53)$$

4.3.2 สร้างสมการกระบวนการ  $\dot{X} = FX + GU$  ขนาด  $9 \times 9$  ดังต่อไปนี้

$$\begin{bmatrix} \dot{x}_1 \\ \dot{x}_2 \\ \dot{x}_3 \\ \dot{x}_4 \\ \dot{x}_5 \\ \dot{x}_6 \\ \dot{x}_7 \\ \dot{x}_8 \\ \dot{x}_9 \end{bmatrix} = \underbrace{\begin{bmatrix} 0 & \rho_x & -\rho_y & 1 & 0 & 0 & 0 & 0 & 0 \\ -\rho_z & 0 & \rho_x & 0 & 1 & 0 & 0 & 0 & 0 \\ \rho_x & -\rho_z & 0 & 0 & 0 & 1 & 0 & 0 & 0 \\ \frac{-g}{R_e} & 0 & 0 & 0 & C_n & -C_n & 0 & -a_z & a_y \\ 0 & \frac{-g}{R_e} & 0 & -C_n & 0 & C_n & a_z & 0 & -a_x \\ 0 & 0 & \frac{2g}{R_e} & C_n & -C_n & 0 & -a_y & a_x & 0 \\ 0 & 0 & 0 & 0 & 0 & 0 & 0 & S_n & S_n \\ 0 & 0 & 0 & 0 & 0 & 0 & S_n & 0 & -S_n \\ 0 & 0 & 0 & 0 & 0 & 0 & -S_n & S_n & 0 \end{bmatrix}}_{F_{INS}} \begin{bmatrix} x_1 \\ x_2 \\ x_3 \\ x_4 \\ x_5 \\ x_6 \\ x_7 \\ x_8 \\ x_9 \end{bmatrix} + \begin{bmatrix} 0 \\ u_{ax} \\ u_{gx} \\ 0 \\ u_{ay} \\ u_{gy} \\ 0 \\ u_{az} \\ u_{gz} \end{bmatrix} \quad (4.54)$$

$$F = \begin{bmatrix} 0 & \rho_z & -\rho_y & 1 & 0 & 0 & 0 & 0 & 0 \\ -\rho_z & 0 & \rho_x & 0 & 1 & 0 & 0 & 0 & 0 \\ \rho_x & -\rho_y & 0 & 0 & 0 & 1 & 0 & 0 & 0 \\ \frac{-g}{R_e} & 0 & 0 & 0 & C_n & -C_n & 0 & -a_z & a_y \\ 0 & \frac{-g}{R_e} & 0 & -C_n & 0 & C_n & a_z & 0 & -a_x \\ 0 & 0 & \frac{2g}{R_e} & C_n & -C_n & 0 & -a_y & a_x & 0 \\ 0 & 0 & 0 & 0 & 0 & 0 & 0 & S_n & S_n \\ 0 & 0 & 0 & 0 & 0 & 0 & S_n & 0 & -S_n \\ 0 & 0 & 0 & 0 & 0 & 0 & -S_n & S_n & 0 \end{bmatrix}_{F_{INS}}$$

$$G = \begin{bmatrix} 0 & 0 & 0 & 0 & 0 & 0 & 0 & 0 & 0 \\ 0 & 1 & 0 & 0 & 0 & 0 & 0 & 0 & 0 \\ 0 & 0 & 1 & 0 & 0 & 0 & 0 & 0 & 0 \\ 0 & 0 & 0 & 0 & 0 & 0 & 0 & 0 & 0 \\ 0 & 0 & 0 & 0 & 1 & 0 & 0 & 0 & 0 \\ 0 & 0 & 0 & 0 & 0 & 0 & 1 & 0 & 0 \\ 0 & 0 & 0 & 0 & 0 & 0 & 0 & 0 & 0 \\ 0 & 0 & 0 & 0 & 0 & 0 & 0 & 0 & 1 \end{bmatrix}$$

$$W = U = \begin{bmatrix} U_x \\ U_{ax} \\ U_{gx} \\ U_y \\ U_{ay} \\ U_{gy} \\ U_z \\ U_{az} \\ U_{gz} \end{bmatrix}$$

4.3.2 สร้างเมตริกซ์ A ขนาด  $2n \times 2n$  (โดยที่ n คือขนาดของเมตริกซ์ x) โดยใช้ค่า F, G และ W จากสมการที่ (4.28) เพื่อใช้ในการหาค่าเมตริกซ์ B

$$A = \begin{bmatrix} -F & GWG^T \\ -- & -- \\ 0 & F^T \end{bmatrix} \Delta t \quad (4.55)$$

4.3.3 สร้างเมตริกซ์ B โดยใช้ค่าเมตริกซ์ A โดย  $B = e^A$

$$B = e^A \quad (4.56)$$

4.3.4 หาค่า  $\phi$  โดยทำการทราบสโพส ส่วนด้านล่างขวาของเมตริกซ์ B

$$\phi = \text{ทราบสโพสส่วนด้านล่างขวาของเมตริกซ์ } B$$

4.3.5 คำนวณค่า  $Q_k$  โดยใช้ค่าของส่วนบนขวาของเมตริกซ์ B

$$Q_k = \phi * (\text{ส่วนบนขวาของเมตริกซ์ } B)$$

4.3.6 สร้างสมการเครื่องมือวัด  $Z_k = H_k X_k + V_k$  โดยกำหนดค่า เมตริกซ์ H และ เมตริกซ์ R และ  $V_k = 0$

$$H = \begin{bmatrix} 1 & 0 & 0 & 1 & 0 & 0 & 0 & 1 & 0 & 0 \\ 0 & 1 & 0 & 0 & 1 & 0 & 0 & 0 & 1 & 0 \end{bmatrix} \text{ และ } R = \begin{bmatrix} 1 & 0 \\ 0 & 1 \end{bmatrix}$$

4.3.7 กำหนดจำนวนรอบในการทำนายค่า N รอบ และกำหนดค่าเริ่มต้นของเมตริกซ์  $P_k$

$$P_k = \begin{bmatrix} 10^6 & 0 & 0 & 0 & 0 & 0 & 0 & 0 & 0 \\ 0 & 10^2 & 0 & 0 & 0 & 0 & 0 & 0 & 0 \\ 0 & 0 & 6.4 \times 10^{-3} & 0 & 0 & 0 & 0 & 0 & 0 \\ 0 & 0 & 0 & 10^6 & 0 & 0 & 0 & 0 & 0 \\ 0 & 0 & 0 & 0 & 10^2 & 0 & 0 & 0 & 0 \\ 0 & 0 & 0 & 0 & 0 & 6.4 \times 10^{-3} & 0 & 0 & 0 \\ 0 & 0 & 0 & 0 & 0 & 0 & 10^6 & 0 & 0 \\ 0 & 0 & 0 & 0 & 0 & 0 & 0 & 10^2 & 0 \\ 0 & 0 & 0 & 0 & 0 & 0 & 0 & 0 & 6.4 \times 10^{-3} \end{bmatrix}$$

4.3.8 ทำการคำนวณค่าอัตราขยายความ  $K_k$ ,  $\overset{\Lambda}{x}_k$  และ  $P_k$  ตามสมการดังนี้

$$K_k = P_k^- H_k^T (H_k P_k^- H_k^T + R_k)^{-1} \quad (4.57)$$

$$\overset{\Lambda}{x}_k = \overset{\Lambda}{x}_k + K_k (z_k - H_k \overset{\Lambda}{x}_k) \quad (4.58)$$

$$P_k = (I - K_k H_k) P_k^- \quad (4.59)$$

4.3.9 คำนวณค่า  $\overset{\Lambda}{x}_{k+1}$  และ  $P_{k+1}^-$

$$\overset{\Lambda}{x}_{k+1} = \phi_k \overset{\Lambda}{x}_k \quad (4.60)$$

$$P_{k+1}^- = \phi_k P_k \phi_k^T + Q_k \quad (4.61)$$